

Приложение 1.1

Расчет значений поляриметрических переменных в MATLAB:

ледяные кристаллы столбчатого типа, распределенные в пространстве хаотически

Оглавление

Устанавливаем начальные значения основных параметров.....	1
Задаем распределение точек на поверхности единичной сферы.....	1
Преобразовываем систему координат.....	3
Рисуем совокупность кристаллов с заданным распределением в пространстве.....	3
Вычисляем значения поляриметрических параметров.....	4
Строим графики функций.....	4
Рисуем внешний вид эллипсоида, эмулирующего форму кристалла льда.....	5
Дополнительные вызываемые функции:.....	6

Устанавливаем начальные значения основных параметров

```
clear;
clc;
global wavelength;
global eps_r;
wavelength=32; % задаем длину волны в мм
eps_r=3; % задаем значение диэлектрической проницаемости

ZDR_crystals(10,1)=zeros; % массив нулей для последующего расчета ДО
LDR_crystals(10,1)=zeros; % массив нулей для последующего расчета ЛДО
Rho_crystals(10,1)=zeros; % массив нулей для последующего расчета КК

n=200000; % общее число точек
k_min=n; % минимальное количество точек
s=0; % переменная-переключатель, используется для отрисовки распределения
      % точек на поверхности единичной сферы только 1 раз

Phh_crystals(10,n)=zeros; % массив нулей для последующего расчета
      % коэффициентов формы
Phv_crystals(10,n)=zeros;
Pvv_crystals(10,n)=zeros;
j=1; % эта переменная используется для индексации значений массивов
      % при хранении расчетов для разных углов места

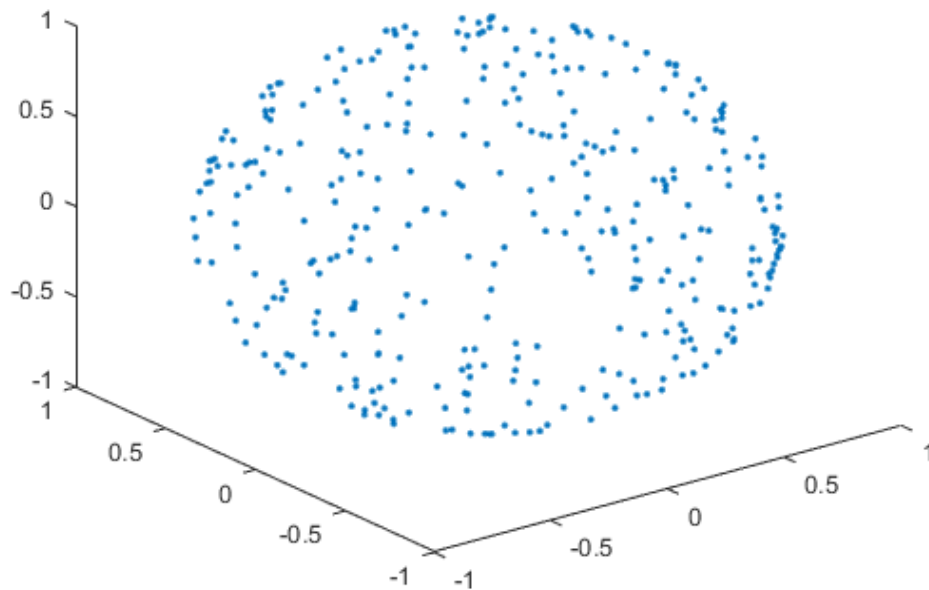
for teta_deg=0:20:180 % перебираем углы места наклона антенны радиолокатора)
```

Задаем распределение точек на поверхности единичной сферы

```
for L=0.1:0.1:8 % задаем размер кристалла

    r=1; % радиус шара с центром в (0,0,0)
    X=zeros(1,n); % массивы хранения координат точек
    Y=zeros(1,n);
    Z=zeros(1,n);
    k=0; % счетчик точек, попавших внутрь шара
    Er=0.01; % погрешность
    for i=1:n
        x=randn/pi; % новая возможная координата по оси X
        y=randn/pi; % новая возможная координата по оси Y
        z=randn/pi; % новая возможная координата по оси Z
        % таким образом задается равномерное распределение

        % z=(1-2*rand);
        ro2=x^2+y^2+z^2; % квадрат расстояния от точки до центра
        if abs(ro2-r^2)<=Er % ограничение по радиусу
            k=k+1; % данная точка попала в круг
            X(k)=x;
            Y(k)=y;
            Z(k)=z;
        end
    end
    end
    if k<k_min
        k_min=k;
    end
    X=X(1:k_min); % удаляем ненужные нули
    Y=Y(1:k_min);
    Z=Z(1:k_min);
    if s==0 % проверка, был ли данный график уже нарисован
        plot3(X,Y,Z,'.')
        % в результате получим изображение распределения точек по
        % поверхности единичной сферы. Здесь видно, что оно - равномерное
    end
end
```



Преобразовываем систему координат

```
[alphaU deltaU R]=cart2sph(X,Y,Z); % переходим от Декартовой системы
                                   % координат к сферической

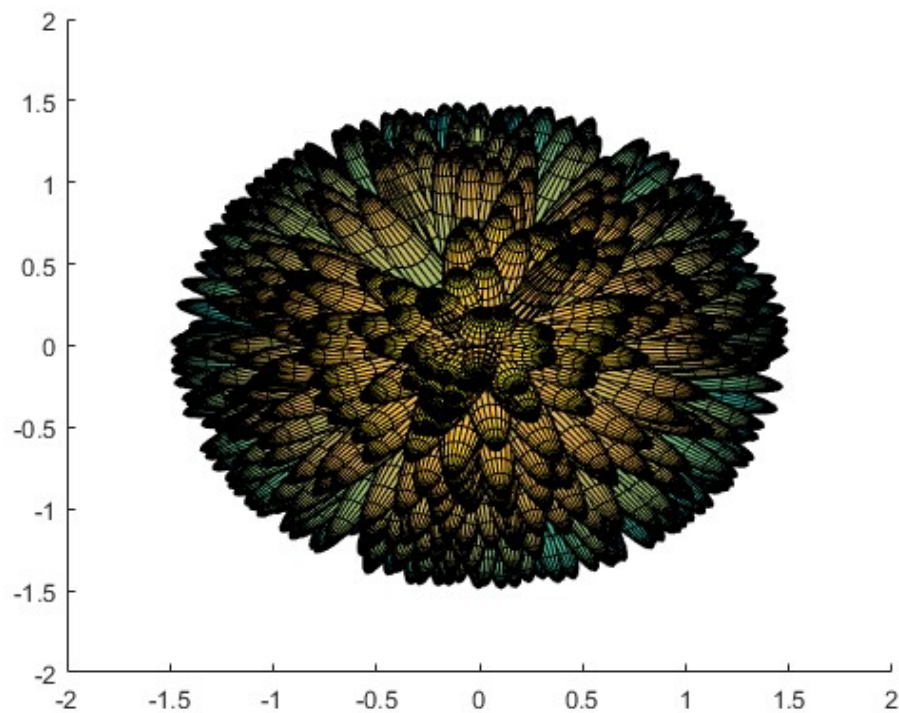
alpha=pi/2+alphaU;
delta=3*pi/2-deltaU;
% преобразовываем углы alpha и delta в соответствии с теми,
% что используются в формулах 2.51-2.53 главы 2 диссертации
phi=0; % задаем угол поворота горизонтальной плоскости поляризации
teta=teta_deg*pi/180; % переводим из градусов в радианы
```

Рисуем совокупность кристаллов с заданным распределением в пространстве

```
if s==0 % проверка, был ли данный график уже нарисован
    figure;
    hold on
    for i=1:length(alpha)
        illustrate(alpha(i),delta(i),0,0,3);
        % эта функция рисует эллипсоид с заданными соотношением сторон
        % и положением в пространстве
    end
    axis([-2 2 -2 2 -2 2]);
end
```

```
s=1;
```

```
% На этом графике также видно, что распределение - равномерное
```



Вычисляем значения поляриметрических параметров

```
for i=1:k_min
    [hh vv hv]=q(alpha(i),delta(i),phi,teta,L);
    Phh_crystals(j,i)=Phh_crystals(j,i)+hh*N_fun(L)*fun_sigma(L);
    Pvv_crystals(j,i)=Pvv_crystals(j,i)+vv*N_fun(L)*fun_sigma(L);
    Phv_crystals(j,i)=Phv_crystals(j,i)+hv*N_fun(L)*fun_sigma(L);
% Phh_crystals(j,i)=Phh_crystals(j,i)+hh*N_fun(fun_d(L))*fun_sigma(fun_d(L));
% Pvv_crystals(j,i)=Pvv_crystals(j,i)+vv*N_fun(fun_d(L))*fun_sigma(fun_d(L));
% Phv_crystals(j,i)=Phv_crystals(j,i)+hv*N_fun(fun_d(L))*fun_sigma(fun_d(L));
%       Закомментированные три строки выше используются для
%       моделирования отражения от пластинчатых кристаллов
end

end

ZDR_crystals(j,1)=10*log10(sum(Phh_crystals(j,1:k_min))/sum(Pvv_crystals(j,1:k_min)));
% Вычисляем значения ДО для совокупности частиц
LDR_crystals(j,1)=10*log10(sum(Phv_crystals(j,1:k_min))/sum(Pvv_crystals(j,1:k_min)));
% Вычисляем значения ЛДО для совокупности частиц
Rho=corrcoef(Phh_crystals(j,:),Pvv_crystals(j,:));
Rho_crystals(j)=Rho(1,2);
% Вычисляем значения КК для совокупности частиц
j=j+1;
```

```
end
```

```
% Переходим к расчетам для следующего угла места
```

Строим графики функций

```
angles=0:20:180;
```

```
figure; % создаем новое окно
```

```
subplot(1,3,1), plot(angles,ZDR_crystals),
```

```
ylabel('Differential Reflectivity, dB');
```

```
% строим график зависимости ДО от угла сканирования антенны радиолокатора
```

```
grid on;
```

```
axis([0 180 -3 3])
```

```
subplot(1,3,2), plot(angles,LDR_crystals),
```

```
xlabel('teta, deg'), ylabel('Linear Depolarization Ratio, dB');
```

```
% строим график зависимости ЛДО от угла сканирования антенны радиолокатора
```

```
grid on;
```

```
axis([0 180 -50 1]);
```

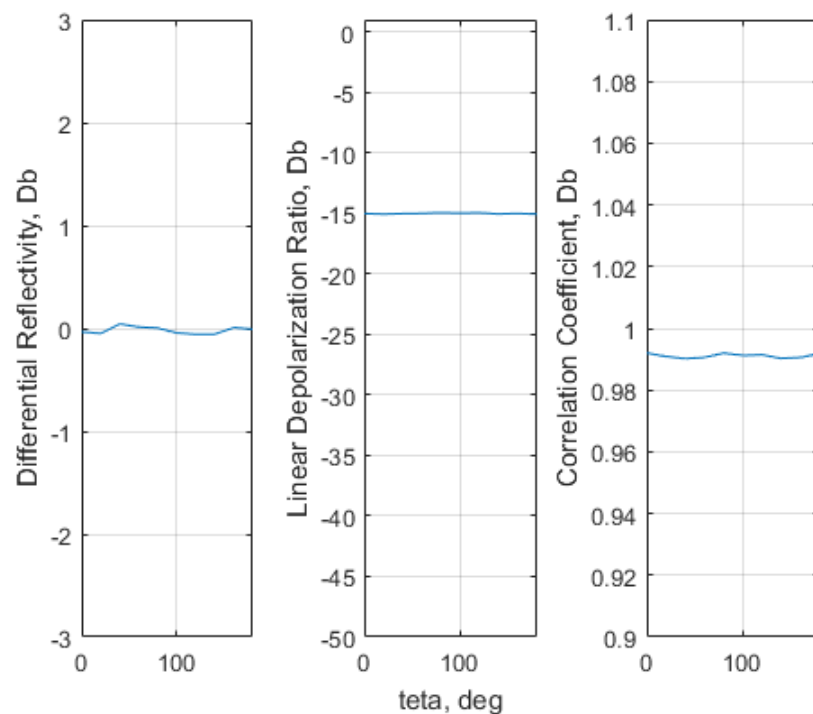
```
subplot(1,3,3), plot(angles,Rho_crystals);
```

```
ylabel('Correlation Coefficient, dB');
```

```
% строим график зависимости КК от угла сканирования антенны радиолокатора
```

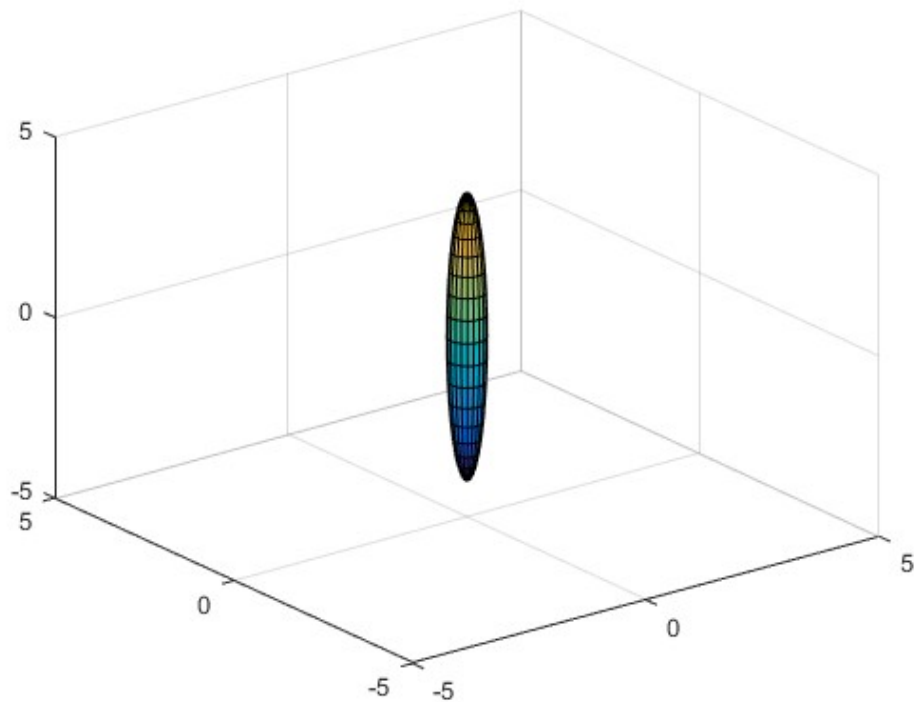
```
grid on;
```

```
axis([0 180 0.9 1.1]);
```



Рисуем внешний вид эллипсоида, эмулирующего форму кристалла льда

```
figure;  
a1=fun_a1(L);  
a3=fun_a3(L);  
[x,y,z] = ellipsoid(0,0,0,a1,a1,a3,20);  
h=surf(x,y,z);  
axis([-5 5 -5 5 -5 5]);
```



Дополнительные вызываемые функции:

```
function z=A1(L)
```

```
% эта функция вычисляет электромагнитные коэффициенты формы эллипсоида
```

```
global eps_r;
```

```
z=1./(1+lambda1(L).*(eps_r-1));
```

```
end
```

```
function z=A3(L)
```

```
% эта функция вычисляет электромагнитные коэффициенты формы эллипсоида
```

```
global eps_r;
```

```
z=1./(1+lambda3(L).*(eps_r-1));
```

```
end
```

```

function z=beta(L)
% эта функция определяет степень "сплюснутости" эллипсоида

z=fun_a1(L)./fun_a3(L);
end

function z=fun_a1(L)
% эта функция вычисляет длины двух второстепенных полуосей сфероида

z=fun_d(L)/2;
end

function z=fun_a3(L)
% эта функция вычисляет длину главной полуоси сфероида

z=L./2;
end

function z=fun_d(L)
% эта функция определяет зависимость диаметра частицы от длины

% для игольчатых кристаллов
% z=0.006*L.^0.52;

% для столбчатых кристаллов
z=0.1*L.^0.93;

% для пластинчатых кристаллов
% z=(100*L).^(1/0.42);

% for жидких капель
% z=L./(0.5*(exp(-(L.^2)/27))+0.5);
end

function sigma = fun_sigma(L)
% эта функция рассчитывает ЭПР эллипсоида согласно формуле Релея

global wavelength;
global eps_r;

sigma = (pi^5*L^6)/wavelength.^4*(((eps_r-1)/(eps_r+2))^2);
end

function z=illustrate(alpha,delta,phi,teta,L)
% эта функция рисует эллипсоид с заданными соотношением сторон

```

% и положением в пространстве

```
a1=fun_a1(L);
a3=fun_a3(L);
[x,y,z] = ellipsoid(0,0,0,a1,a1,a3,20);
h=surf(x,y,z);
% axis([-1 1 -1 1 -L L]);
center = [0 0 0];
dir1=[1 0 0];
rotate(h,dir1,radtodeg(delta),center);
dir2=[0 0 1];
rotate(h,dir2,radtodeg(alpha),center);
z=[phi_hh(alpha,delta,phi,teta) phi_vv(alpha,delta,phi,teta)];
```

```
function z=lambda1(L)
```

% эта функция рассчитывает коэффициент "лямбда", определяемый формой
% частицы

```
z=(1-lambda3(L))./2;
```

```
function z=lambda3(L)
```

% эта функция проверяет, является ли сфероид вытянутым или сплюснутым

```
if beta(L)<1&&beta(L)>0
    z=((1-E(L).^2)./(E(L).^2)).*(-1+(1/...
        (2.*E(L)).*log((1+E(L))./(1-E(L)))));
else
    z=((1+f(L).^2)/f(L).^2).*...
        (1-(1./f(L)).*atan(f(L)));
end
```

```
function z=E(L)
```

```
z=sqrt(1-beta(L).^2);
```

```
function z=f(L)
```

```
z=sqrt(beta(L).^2-1);
```

```
function Z=N_fun(L)
```

% эта функция определяет формулу распределения частиц по размерам


```
Z=1000.*L.^-2.3;
```

```
end
```

```
function z=phi_hh(alpha,delta,phi,teta)
```

```
% эта функция задает формулу 2.51 главы 2 диссертации
```

```
z=(sin(delta).^2).*(cos(alpha).^2).*(sin(phi).^2).*(sin(teta).^2)+...  
  (sin(delta).^2).*(sin(alpha).^2).*(cos(phi).^2)+(cos(delta).^2).*...  
  (sin(phi).^2).*(cos(teta).^2)-0.5.*sin(2.*delta).*cos(alpha).*...  
  (sin(phi).^2).*sin(2.*teta)-0.5.*sin(2.*delta).*sin(alpha).*...  
  sin(2.*phi).*cos(teta)+0.5.*(sin(delta).^2).*sin(2.*alpha).*...  
  sin(2.*phi).*sin(teta);
```

```
end
```

```
function z=phi_vv(alpha,delta,phi,teta)
```

```
% эта функция задает формулу 2.52 главы 2 диссертации
```

```
z=(sin(delta).^2).*(cos(alpha).^2).*(cos(phi).^2).*(sin(teta).^2)+...  
  (sin(delta).^2).*(sin(alpha).^2).*(sin(phi).^2)+(cos(delta).^2).*...  
  (cos(phi).^2).*(cos(teta).^2)-0.5.*sin(2.*delta).*cos(alpha).*...  
  (cos(phi).^2).*sin(2.*teta)+0.5.*sin(2.*delta).* sin(alpha).*...  
  sin(2.*phi).*cos(teta)-0.5.*(sin(delta).^2).*sin(2.*alpha).*...  
  sin(2.*phi).*sin(teta);
```

```
end
```

```
function z=phi_hv(alpha,delta,phi,teta)
```

```
% эта функция задает формулу 2.53 главы 2 диссертации
```

```
z=(0.5.*sin(2.*phi).*((sin(delta).^2).*(sin(alpha).^2)-(sin(delta).^2).*...  
  (cos(alpha).^2).*(sin(teta).^2)-(cos(delta).^2)-sin(2.*delta).*...  
  cos(alpha).sin(2.*teta))-0.5.*cos(2.*phi).*((sin(2.*alpha).*...  
  (sin(delta).^2).*sin(teta)-sin(2.*delta).sin(alpha).cos(teta))));
```

```
end
```

```
function [qhh,qvv,qhv]=q(alpha,delta,phi,teta,L)
```

```
% эта функция вычисляет относительную мощность принятого сигнала на разных  
% поляризациях
```

```
qhh=((A1(L)+(A3(L)-A1(L)).*phi_hh(alpha,delta,phi,teta))).^2;  
qvv=((A1(L)+(A3(L)-A1(L)).*phi_vv(alpha,delta,phi,teta))).^2;  
qhvh=((A3(L)-A1(L)).*phi_hv(alpha,delta,phi,teta)).^2;
```

```
end
```